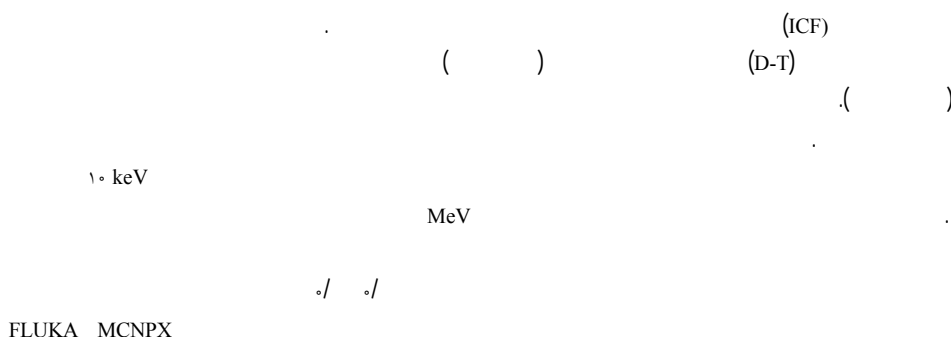


parvazin@cc.iut.ac.ir :

(دریافت مقاله: ۱۲/۱۷/۱۳۸۷؛ دریافت نسخه نهایی: ۱۳۸۹/۴/۲)



موجب بالارفتن آهنگ برهمنش همچو شی می شود.

$$D + T \rightarrow n + {}^4He + 17/6 \text{ MeV} \quad (1)$$

متعاقب واکنش فوق، فشار ناشی از برهمنش‌ها، باعث فروریزی ساچمه می‌شود. این موج فشار تقریباً با سرعت امواج مکانیکی (امواج صوتی) در محیط ساچمه منتشر می‌گردد. که این امر باعث محدود شدن زمان محصورسازی تا مرتبه نانو ثانیه می‌شود. در این مدت زمان تقریباً  $30 - 60$  درصد سوخت مصرف می‌شود [۲ و ۱].

یکی از روش‌های مطرح در همچو شی هسته‌ای، روش محصورسازی لختی است. در این روش، می‌توان با متراکم نمودن سوخت دوتربیوم-تریتیوم درون ساچمه‌ای به شعاع چند میلی‌متر توسط پرتوهای محرک موجب چگال شدن سوخت و افزایش دمای سوخت تا  $10^6$  keV آشده. در این دما اتم‌های سوخت به حالت پلاسمای درآمده‌اند. بر اثر متراکم، چگالی سوخت حدود  $500 - 1000$  برابر سوخت جامد می‌شود، که

با تعریف کسر مصرف سوخت  $f$  به صورت زیر داریم:

$$f = \frac{n_i - n_f}{n_i}, \quad (4)$$

$$\tau = \frac{2}{\langle \sigma v \rangle_{DT}} \frac{m_i}{\rho} \left( \frac{f}{1-f} \right), \quad (5)$$

$$t_d = \frac{R}{v_d}, \quad v_d = \left[ \frac{2KT_i}{m_i} \right]^{\frac{1}{2}}. \quad (6)$$

$\rho$  چگالی سوخت در زمان سوختن،  $m_i$  جرم یون،  $t_d$  زمان فروریزی ساچمه،  $v_d$  سرعت موج صوتی در ساچمه،  $K$  ثابت بولتزمن و  $T_i$  دمای یون است. چون زمان سوختن کمتر از زمان فروریزی ساچمه است بنابراین خواهیم داشت:

$$\rho R > \frac{4m_i v_d}{\langle \sigma v \rangle_{DT}} \left( \frac{f}{1-f} \right) \quad (7)$$

این نامساوی معرف معیار لاوسون برای پلاسمای محصور شده به روش لختی است. به طور مثال برای سوخت D-T در دمای ۲۰ keV با تخمین کسر سوختن ۵۰ درصد، معیار فوق به صورت  $\rho R > \frac{6g}{cm^6}$  به دست می‌آید. همچنین برای اشتعال سوخت D-T در دمای ۵ keV و کسر مصرف سوخت ۵۰ درصد  $\frac{g}{cm^2}$  به دست می‌آید. بنابراین اگر بخواهیم جرم از سوخت مشتعل شود باید سوخت را تا چگالی معادل رابطه زیر متراکم کنیم.

$$\rho_m = \left( \frac{4\pi}{2} \frac{\langle \rho R \rangle^3}{M} \right)^{\frac{1}{2}} \approx 200-300 \left( \frac{mg}{M} \right)^{\frac{1}{2}} \left( \frac{g}{cm^2} \right) \quad (8)$$

اشتعال سریع یکی از روش‌های همجوشی لختی است که در آن مراحل تراکم و اشتعال از یکدیگر جدا شده است. در این روش انرژی دهی در دو مرحله صورت می‌گیرد [۳]:

۱. فرآیند فشرده سازی سوخت ساچمه‌های D-T توسط لیزر و یا پرتوهای یونی (مرحله تراکم).

۲. ورود باریکه پرتوی لیزر پر انرژی از یک نقطه برای ایجاد اشتعال و جرقه احتراق به ساچمه، (مرحله اشتعال).

بعد از تراکم ساچمه در مرحله دوم، باریکه‌ای از لیزر با توان

مکانیزم اشتعال ساچمه در چهار مرحله پرتودهی، تراکم، اشتعال و انفجار انجام می‌شود. پرتودهی ساچمه سوخت، از اطراف می‌تواند به وسیله پرتوهای محرک لیزر، یون‌های سبک و یا سنگین انجام گردد. پرتوهای محرک انرژی خود را در لایه جذب کننده سوخت به جای می‌گذارند. که باعث گرم شدن و منبسط شدن این لایه می‌شود. از آن جایی که این عمل خیلی سریع انجام می‌شود نیروی عکس العمل ناشی از تبخیر لایه جذب کننده، ساچمه را به سمت درون متراکم می‌کند به طوری که ساچمه به چگالی ۱۰۰۰ برابر چگالی حالت جامد می‌رسد، که این مرحله تراکم ساچمه است. همزمان با انساط لایه جذب کننده بر اثر برد هم‌کنش پرتوی محرک با اتم‌ها و مولکول‌های این لایه، الکترون‌هایی با انرژی‌های بالا آزاد می‌شوند که به آنها الکترون‌های نسبیتی گفته می‌شود. در مرحله اشتعال الکترون‌های نیز به درون ساچمه انتشار می‌یابند که با به جا گذاشتن انرژی خود در ناحیه سوخت ساچمه باعث گرم شدن سوخت و رسیدن به دمای خود اشتعالی می‌شوند و واکنش‌های همجوشی در داخل ساچمه انجام می‌گیرد. این ساچمه تا زمانی که فشار خارجی ناشی از نیروهای لختی از فشار درونی ناشی از انجام همجوشی بیشتر باشد به سوختن ادامه می‌دهد، که این زمان از مرتبه نانو ثانیه است. بعد از آن ساچمه منفجر می‌شود و انرژی خود را آزاد می‌کند (مرحله انفجار).

$$\rho R$$

اگر شعاع سوخت متراکم شده  $R$  باشد و این شعاع در مدت زمان  $\tau$  ثابت بماند، آهنگ مصرف یون‌ها برابر آهنگ برهم‌کنش‌های همجوشی است یعنی:

$$\frac{dn(t)}{dt} = -\frac{1}{2} n^2(t) \langle \sigma v \rangle_{DT}. \quad (2)$$

اگر  $n_i$  چگالی یون‌ها در زمان آغاز سوخت و  $n_f$  چگالی یونی در پایان مدت زمان سوخت باشد بنابراین با انتگرال‌گیری از رابطه (۲) داریم:

$$\tau = \frac{2}{\langle \sigma v \rangle_{DT}} \left[ \frac{1}{n_f} - \frac{1}{n_i} \right], \quad (3)$$

جدول ۱. مقایسه پارامترهای همجوشی اشتعال سریع و مستقیم.

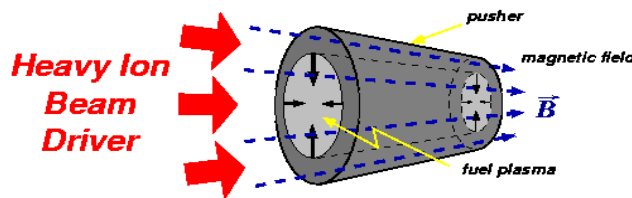
	اشتعال سریع	اشتعال مستقیم
انرژی لیزر (مگاژول)	۱/۳۳	۴
بازدۀ لیزر	%۹	%۹
بهره ساقمه	۳۰۰	۱۰۰

سوخت دوتربیوم - تربیتیوم در روش اشتعال سریع است. بهمنظر بالا بردن بهره همجوشی از یک میدان مغناطیسی در حدود نیم تسلا در محل ساقمه سوخت استفاده می‌کنیم. با اعمال میدان مغناطیسی خارجی به ساقمه سوخت، می‌توان پلاسمای تولید شده در ساقمه را برای مدتی طولانی تر محصور کرد که این باعث افزایش آهنگ همجوشی در ساقمه می‌گردد. با این ایده که میدان مغناطیسی برای هدایت گرمایی و بهبود آهنگ انتقال انرژی الکترون‌های نسبیتی و پروتون‌های پر انرژی در ساقمه می‌باشد. از این رو این روش هم چنان زیر مجموعه همجوشی لختی می‌باشد. میدان اعمال شده نقش مؤثری در کاهش اتلاف رسانش گرمایی پلاسمای پلاسمایی به عهده دارد. از میان پیکربندی‌های مغناطیسی متعددی که می‌توان برای ساقمه پلاسمای انتخاب کرد  $z$ -pinch - محور محور استوانه و جهت میدان مغناطیسی در  $z$ -pinch حول محور استوانه‌ای پینچ است [۵، ۶].

برای بررسی تراپرد الکترون‌ها، فوتون‌ها، نوترون‌ها و پروتون‌ها از کد محاسباتی MCNPX استفاده شده است [۶ و ۷ و ۸ و ۹ و ۱۰]. همچنین از کد FLUKA برای تراپرد پروتون‌های پر انرژی استفاده شده است. FLUKA کد چند منظوره تراپرد ذرات مبتنی بر روش آماری مونت کارلو می‌باشد، که حاصل کار سازمان هوا و فضای آمریکا (NASA) و سازمان تحقیقات فیزیک هسته‌ای و ذرات اروپا و دانشگاه میلان می‌باشد. این کد اولین بار در سال ۱۹۶۲ در سرن برای تراپرد باریکه پروتون پر انرژی مورد استفاده قرار گرفت. آن چه که این کد را از دیگر کدهای تراپرد ذرات متمایز می‌کند توانایی تراپرد

پتاوات و با شدت  $W/cm^2$   $10^{19} - 10^{20}$  را از طریق روزنۀ ایجاد شده در ساقمه به یک صفحه فلزی می‌تابانند. از آن جایی که نقطه اشتعال ساقمه دارای چگالی بیشتری از چگالی بحرانی عبور نور است. بنابر این لیزر نمی‌تواند درون ماده فوق جامد نفوذ کند. یک صفحه فلزی در داخل ساقمه قبل از ناحیه سوخت متراکم شده طوری قرار می‌گیرد که لیزر به صفحه فلزی برخورد کند و در اثر برهم‌کنش لیزر با فلز، الکترون‌های نسبیتی با انرژی چندین مگا الکترون ولت در داخل ساقمه تولید شوند. برای این منظور، جریان الکترون‌ها در حدود  $A/cm^2$   $10^{12}$  است. سپس الکترون‌ها به سرعت، درون سوخت فوق چگال نفوذ می‌کنند و با جایگذاری انرژی خود در ناحیه کوچکی از ساقمه باعث گرم شدن آن تا دمای  $10 keV$  می‌شود. الکترون‌ها باید بتوانند در حدود  $100$  میکرومتر درون ساقمه نفوذ کنند و خود را به ناحیه اشتعال برسانند، در این صورت این ناحیه کوچک سوخت، می‌تواند مشتعل شود. ذرات آلفا که توسط واکنش D-T تولید می‌شوند، می‌توانند حرارت مورد نیاز اشتعال را تأمین کنند و با جایگذاری انرژی خود در ساقمه، موج اشتعال در ساقمه انتشار می‌یابد [۳]. آن چه که از نتایج تجربی و شبیه سازی به دست آمده، جدول ۱، گویای این مطلب است که بهره انرژی در اشتعال سریع نسبت به اشتعال مستقیم بیشتر است. برای اینکه اشتعال سریع انجام شود و به بهره‌های بالا دست یافت، ساقمه‌ها را در مدل‌های مختلفی می‌سازند. مدل‌هایی که تاکنون بسیار مورد توجه قرار گرفته‌اند مدل کروی و استوانه‌ای بوده‌اند [۴ و ۳].

در این مقاله هدف اصلی بررسی بهره همجوشی ساقمه



شکل ۱. شماتیک از ساقمه استوانه‌ای در میدان مغناطیسی.

در اندازه ۰/۲۵ و ۰/۵ تесلا را نیز در نظرمی‌گیریم و آهنگ انتقال انرژی را حساب می‌کنیم. میدان مغناطیسی اعمال شده توسط کد FLUKA اعمال می‌شود.

ذرات باردار در میدان مغناطیسی یکنواخت است. این کد با ۴۷۰۰۰۰ خط برنامه نویسی فورترن نوشته شده است و در سیستم عامل لینوکس نصب می‌شود [۱۲ و ۱۱].

ساقمه استوانه‌ای در شکل ۱ نشان داده شده است. این ساقمه از یک لایه سوخت جامد دوتیریوم و تریتیوم با نسبت مساوی و چگالی اولیه  $\rho_{D-T} = ۰/۲۵ \frac{\text{g}}{\text{cm}^3}$  درست شده است. لایه جذب کننده (روی لایه سوخت قرار می‌گیرد) از جنس Be با چگالی اولیه  $\rho_{Be} = ۱/۸۵ \frac{\text{g}}{\text{cm}^3}$  استفاده شده است. لایه نگه دارنده (طلاء) با چگالی  $\rho_{Au} = ۱۹/۵ \frac{\text{g}}{\text{cm}^3}$  است. از آلومینیوم با چگالی  $\rho_{Al} = ۲/۷ \frac{\text{g}}{\text{cm}^3}$  برای تولید الکترون‌های نسبیتی و از مس با چگالی  $\rho_{Cu} = ۸/۹ \frac{\text{g}}{\text{cm}^3}$  برای تولید پروتون‌های پر انرژی استفاده شده است. برای ساقمه استوانه‌ای با شرط زیر اشتغال انجام می‌شود.

$$KT = ۵ - ۷ \text{ keV},$$

$$\rho R \geq ۰/۲ - ۰/۳ \frac{\text{g}}{\text{cm}^2}, \quad (۹)$$

که پارامتر  $R$  در ساقمه استوانه‌ای کوچکتر از ساقمه کروی است  $\rho R \geq ۰/۳ - ۰/۶ \frac{\text{g}}{\text{cm}^2}$ . طراحی ساقمه برای بهینه سازی نسبت‌های شعاع به صورت زیر انجام می‌گیرد.

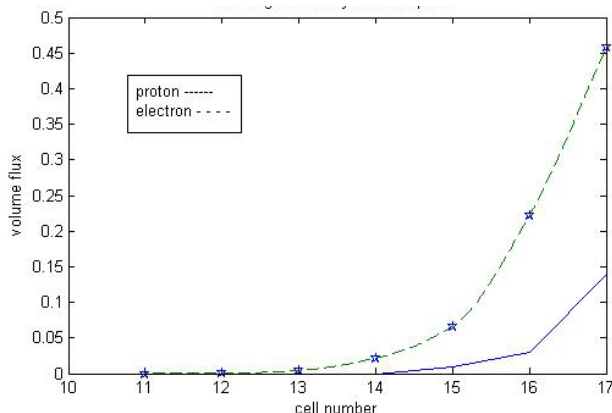
$$\frac{R_{D-T}}{R_{Be}} = ۰/۶, \quad \frac{R_{Au}}{R_{Be}} = ۱/۵. \quad (۱۰)$$

در ساقمه استوانه‌ای ابتدا ساقمه به حالت فشردگی کامل می‌رسد. اندازه ساقمه، چگالی لایه‌های مختلف و نوع مواد لایه‌های مختلف ساقمه در جدول ۲ آورده شده است.

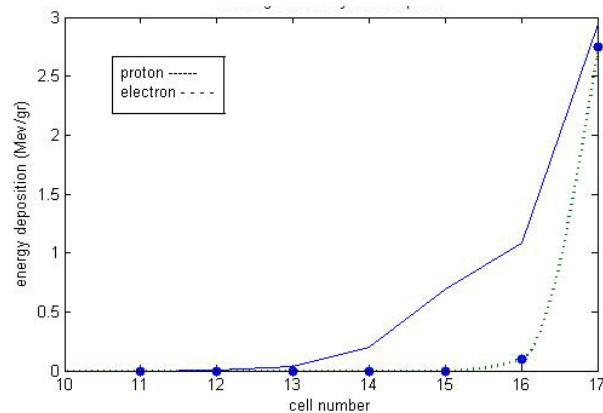
همان‌طور که در بخش ۴ اشاره شد هدف اصلی در این کار بررسی بهره همجوشی ساقمه‌های D-T با به کار گیری یک میدان مغناطیسی خارجی در محل پرتودهی ساقمه است. در این قسمت به بررسی آهنگ انتقال انرژی الکترون‌های نسبیتی و پروتون‌های پر انرژی، به لایه‌های مختلف ساقمه استوانه‌ای در اشتغال سریع، در غیاب و با حضور میدان مغناطیسی می‌پردازیم. همچنین به محاسبه بهره همجوشی در حضور میدان‌های مغناطیسی ۰/۲۵ و ۰/۵ تесلا می‌پردازیم. ساقمه استوانه‌ای که در نظر می‌گیریم دارای پارامترهایی، به صورت  $R_{D-T}$ : شعاع سوخت (D-T)،  $R_{Be}$ : شعاع لایه بریلیوم،  $R_{Au}$ : شعاع لایه طلا و H: ارتفاع ساقمه استوانه‌ای است. چگالی لایه‌ها با پارامترهای،  $\rho_{DT}$ : چگالی سوخت D-T،  $\rho_{Be}$ : چگالی لایه بریلیوم و  $\rho_{Au}$ : چگالی لایه طلا تعریف می‌شود. ابتدا ساقمه را توسط کد MCNPX طراحی کردیم. پارامترهایی مانند شعاع، چگالی، نوع ماده و انرژی الکترون‌ها و پروتون‌ها را در برنامه تعریف کردیم. در داخل ساقمه برش کوچکی در امتداد محور ایجاد شده است. با تاباندن لیزر به صفحه فلزی از جنس آلومینیوم که در انتهای برش ساقمه استوانه‌ای قرار داده‌ایم الکترون‌های با انرژی ۱-۱۰ MeV تولید می‌شوند. چنانچه صفحه فلزی از جنس مس قرار دهیم پروتون‌های با انرژی ۵-۳۵ MeV تولید می‌شوند. ما آهنگ انتقال انرژی الکترون‌های نسبیتی و پروتون‌های پر انرژی در لایه‌های مختلف ساقمه استوانه‌ای را حساب کردیم. همچنین میدان‌های مغناطیسی محوری

جدول ۲. مشخصات ساچمه استوانهای در بیشینه تراکم.

$m_{\text{tot}}$ (g)	$\rho_{\text{max}}$ (g/cm³)	چگالی	$R_{\text{tot}}$ (cm)	شعاع
۹/۳۸۰۰	۲۰۰		۰/۱۲۸۷۲	ناحیه سوت جامد
۴۷/۳	۱۸۰		۰/۳۴۵۵۰۲	لایه بریلیوم
۱۰/۲	۱۰۰۰		۰/۴۸۱۵۹	لایه طلا
۰/۰۱۲۲۶	۲/۷۵۲		۰/۰۱۴۹	آلومینیوم



شکل ۳. مقایسه شار حجمی الکترون و پروتون در لایه‌های مختلف ساچمه استوانهای در اشتعال مستقیم توسط کد MCNPX.



شکل ۲. مقایسه آهنگ انتقال انرژی الکترون و پروتون به لایه‌های مختلف ساچمه استوانهای در اشتعال مستقیم توسط کد MCNPX.

پروتون در ساچمه برخوردار است. در عوض انتقال انرژی پروتون به ساچمه بیشتر است چرا که پروتون از طریق برهمنش‌های هسته‌ای و الکترون از طریق برهمنش‌های اتمی انرژی خود را در ساچمه به جا می‌گذاردند. به علت چگال بودن ساچمه، ذرات نمی‌توانند انرژی خود را در ناحیه سوت به جا بگذارند از این رو اشتعال در زمان دیرتری صورت می‌گیرد و باعث می‌شود که کسر کمتری از سوت مشتعل شود و بهره همچو شی در روش اشتعال مستقیم کاهش یابد. در چنین حالتی همچو شی در روش اشتعال مستقیم کاهش یابد. در این مشکل نمی‌کند. اعمال یک میدان مغناطیسی کمکی در رفع این مشکل نمی‌کند. از این رو اعمال میدان در روش اشتعال سریع مطرح می‌شود. چرا که طبق شکل ۴ در این حالت ذرات می‌توانند در داخل ناحیه سوت نفوذ کنند. بنابر این روش اشتعال سریع مورد بررسی قرار می‌گیرد.

در روش اشتعال سریع برشی در ساچمه ایجاد می‌کنیم و در

در ابتدا برای آن که مقایسه‌ای بین روش اشتعال مستقیم و اشتعال سریع از دیدگاه آهنگ انتقال انرژی توسط ذرات به ساچمه داشته باشیم. ساچمه بدون برش استوانهای توسط کد MCNPX طراحی می‌کنیم. در این حالت ساچمه به ۱۷ سلول به ترتیب از محور استوانه به طرف خارج تقسیم شده است. پنج سلول در ناحیه سوت، ده سلول در ناحیه بریلیوم و دو سلول در ناحیه طلا قرار دارند. در اثر برهمنش لیزر با سطح خارجی ساچمه استوانهای شاری از ذرات (الکترون یا پروتون) به طرف محور استوانه ترا برد می‌شوند.

نمودار آهنگ انتقال انرژی و شار در لایه‌های مختلف (پنج لایه اول سوت جامد، ده لایه بریلیوم و دو لایه طلا) در روش اشتعال مستقیم در شکل‌های ۲ و ۳ رسم شده است. در این حالت چشم، سطح یک لایه استوانهای همسانگرد است که ذرات به سمت محور استوانه ترا برد می‌کنند. همان‌گونه که در شکل ۲ مشهود است الکترون از قدرت نفوذ بیشتری نسبت به

برای محاسبه بهره انرژی همچو شی در ساقمه با استفاده از روابط تجربی مرجع [۱۹] محاسبات انجام گردید، انرژی لیزر اشتعال گر برای پروتون برابر است با:

$$E_{ig} = 140 \left( \frac{\rho}{100 \text{ g/cm}^3} \right)^{-1/85} \text{ kJ}, \quad (11)$$

و انرژی لیزر اشتعال گر برای الکترون به صورت زیر است.

$$E_{ig} = 140 \left( \frac{\rho}{100 \text{ cm}^3} \right)^{-1/93} \text{ kJ}, \quad (12)$$

$$E_{d-ig} = \frac{E_{ig}}{\eta_{ig}}. \quad (13)$$

رابطه (۵) نسبت انرژی لیزر اشتعال گر به ضریب بهره تبدیل انرژی لیزر به فلز برای تولید الکترون یا پروتون می باشد و

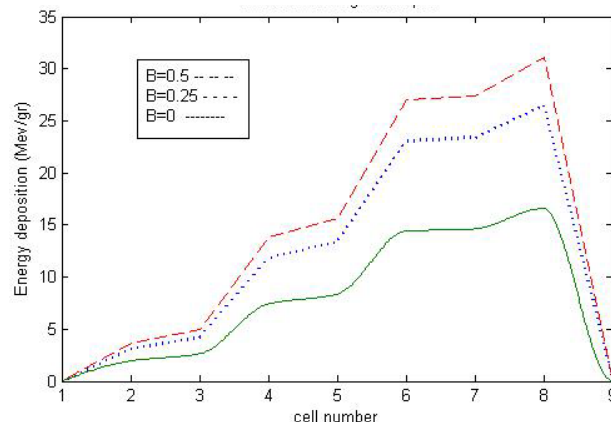
$$E_{d-compression} = \frac{E_c}{\eta_c}, \quad (14)$$

که در آن  $E_c = m_{DT} \alpha c_d \rho^{0.6667}$  نسبت انرژی لازم برای تراکم ساقمه به ضریب بهره پرتو محرك برای فشردنگی است. برای محاسبه بهره همچو شی از رابطه زیر استفاده می گردد،

$$G = f_B^d \frac{m_{DT} Q_{DT} f_b}{E_{d-compression} + a E_{d-ig} + E_M}. \quad (15)$$

بهره همچو شی نسبت انرژی آزاد شده ناشی از همچو شی در ساقمه به انرژی داده شده به ساقمه می باشد. که در آن  $a = E_M = 0$  نشان دهنده میدان مغناطیسی صفراست. ضریب  $f_b$  در حالت تک مرکز داغ،  $a=2$  در حالت دو مرکز داغ و  $f_b$  ضریب بهره میدان مغناطیسی است. ضریب بهره میدان نسبت انرژی به جا گذاشته شده توسط الکترون یا پروتون در ناحیه سوخت با حضور میدان به حالت بدون میدان می باشد. همچنین این ضریب برای پروتون و الکترون متفاوت می باشد.  $E_M$  انرژی منتقل شده توسط میدان به سوخت می باشد. همچنان انرژی با کسر سوختن وابستگی داشته و مقدار  $E_M = 12 / 472 \text{ MJ}$  برای پروتون با کسر سوخت  $\approx 37\%$  می باشد و برای الکترون  $E_M = 12 / 472 \text{ MJ}$  می باشد [۱۰ و ۱۱]. در رابطه (۱۵)، با  $f_b = 40\%$  می باشد  $[10 \text{ و } 11]$ . در رابطه (۱۵)،

$$\alpha = \frac{1}{2} \frac{n_0 - n(t)}{n_0} \text{ کسر سوختن و } Q_{DT} = 341 \frac{\text{MJ}}{\text{mg}}$$

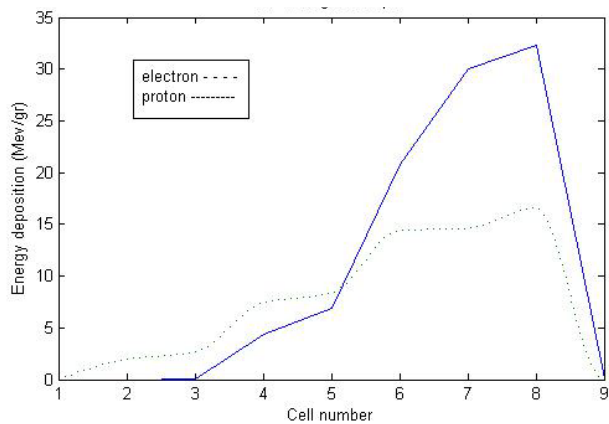


شکل ۴. مقایسه آهنگ انتقال انرژی الکترون‌های ۱۰ MeV به لایه‌های مختلف ساقمه استوانه‌ای در اشتعال سریع در غیاب و حضور میدان‌های مغناطیسی ۰/۵ و ۰/۰۵ تلا

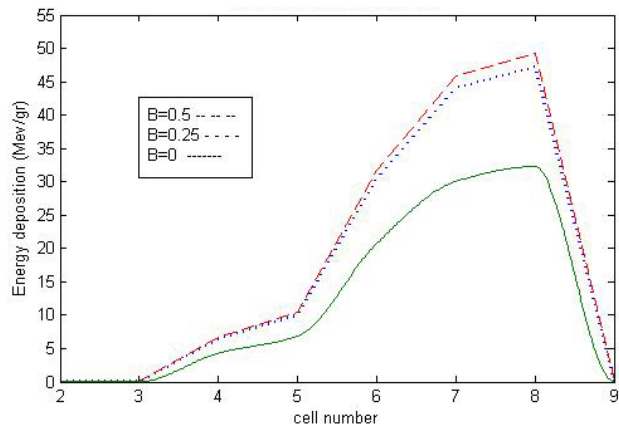
انتهای آن فلزی از جنس آلومینیوم یا مس قرار می دهیم. پرتو لیزر از طریق بررش در داخل ساقمه نفوذ می کند، در اثر برهم‌کنش لیزر با فلز تعییه شده تولید الکترون‌های نسبیتی یا پروتون‌های پرانرژی می شود. ذرات انرژی خود را در ناحیه سوخت به جا می گذارند. در اولین نقطه‌ای از سوخت که شرایط اشتعال فراهم شود. اولین واکنش همچو شی انجام می شود و موج اشتعال از این ناحیه در سراسر سوخت منتشر می گردد و باعث اشتعال در کل سوخت می شود. به این ناحیه مرکز داغ (Hot spot) گفته می شود. این ناحیه به انتهایی بررش در ساقمه یعنی همان محل چشممه الکترون یا پروتون نزدیک است. در طراحی نوع دیگری از این ساقمه‌ها، برای روش اشتعال سریع دوبرش متقابل در ساقمه استوانه‌ای تعییه می شود به صورتی که دو پالس لیزر اشتعال گر همزمان وارد برش‌ها در ساقمه شوند و سوخت جامد از دو ناحیه مشتعل شود این روش باعث می شود کسر بیشتری از سوخت در زمان محصورسازی مشتعل شود و بهره همچو شی افزایش یابد. در ضمن این روش باعث افزایش تقارن در پرتودهی در روش اشتعال سریع می شود. در این حالت دو نقطه اشتعال در سوخت وجود دارد که به این حالت، (Dual hot spot) و به حالت قبل (Single hot spot) گفته می شود. در ادامه نتایج اعمال میدان را بر دو حالت بررسی می کیم.

جدول ۳. محاسبه بهره همجوشی الکترون‌های  $1-10\text{ MeV}$  و پروتون‌های  $5-35\text{ MeV}$  در غیاب و حضور میدان مغناطیسی در حالت تک نقطه داغ.

میدان مغناطیسی $B(T)$	بهره همجوشی توسط الکترون (%)	بهره همجوشی توسط پروتون (%)	ضریب بهره میدان برای الکترون $f_B^e$	ضریب بهره میدان برای پروتون $f_B^p$	کسر سوختن برای الکترون $f_b$	کسر سوختن برای پروتون $f_b$
۰	۳۸/۵۸۹۶	۳۴/۷۳۰۲	۱	۱	۰/۳۰	۰/۲۷
۰/۲۵	۵۴/۱۳۰۱	۴۵/۸۳۵۸	۱/۵۷۹۷	۱/۴۴۶۱	۰/۴۰	۰/۳۷
۰/۵	۶۳/۳۷۱۷	۴۷/۸۰۷۳	۱/۸۴۹۴	۱/۵۰۸۳	۰/۴۰	۰/۳۷



شکل ۶. مقایسه آهنگ انتقال انرژی الکترون و پروتون در غیاب میدان مغناطیسی.



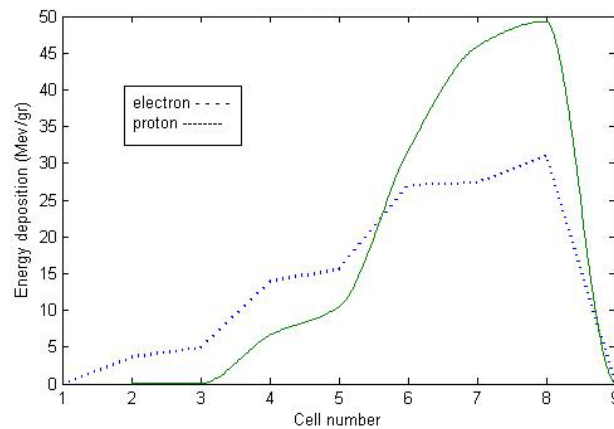
شکل ۵. مقایسه آهنگ انتقال انرژی پروتون‌های  $35-5\text{ MeV}$  به لایه‌های مختلف ساقمه استوانه‌ای در انتقال سریع در غیاب و حضور میدان‌های مغناطیسی  $۰/۲۵$  و  $۰/۵$  تسلا.

بهره همجوشی در حالت یک نقطه داغ با حضور میدان و بدون میدان در جدول ۳ محاسبه شده است. آهنگ انتقال انرژی پروتون با اعمال میدان افزایش می‌یابد ولی همان‌گونه که در شکل ۵ مشاهده می‌شود نمودارها برای میدان‌های  $۰/۲۵$  و  $۰/۵$  تسلا نسبت به یکدیگر چندان تغییرچشمگیری نکرده‌اند. از این رو در مقایسه با شکل ۴ مشخص می‌گردد که تغییرات میدان مغناطیسی برآهنگ انتقال انرژی الکترون مؤثرتر می‌باشد.

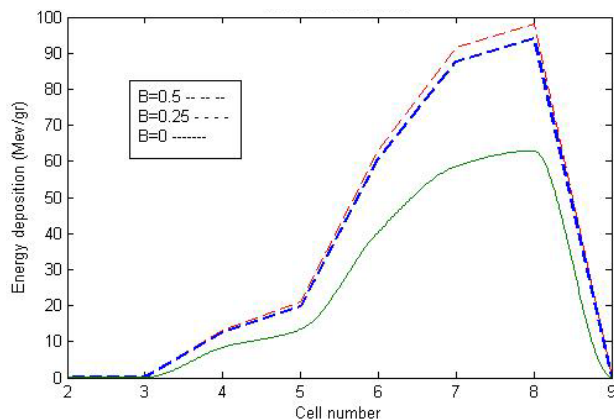
در شکل ۶ مقایسه‌ای بین آهنگ انتقال انرژی الکترون و پروتون در غیاب میدان مغناطیسی صورت گرفته است. مشاهده می‌شود الکترون انرژی بیشتری در مقایسه با پروتون در ناحیه سوخت (پنج لایه اول) به جای می‌گذارد. بنا بر این در این حالت نیز الکترون نقش عمده‌ای در تامین انرژی مورد نیاز

پارامتر ساقمه،  $m_{DT} = ۰/۳[(\frac{\text{KJ}}{\text{mg}})(\frac{\text{g}}{\text{cm}^3})]^{۰/۶۶۶۷}$  جرم سوخت و  $\rho$  چگالی سوخت است. انرژی که صرف تراکم ساقمه می‌گردد مستقل از تولید الکترون یا پروتون می‌باشد و برابر  $۲۴/۸۶۰\text{ MJ}$  است [۱۷ و ۱۸ و ۱۹].

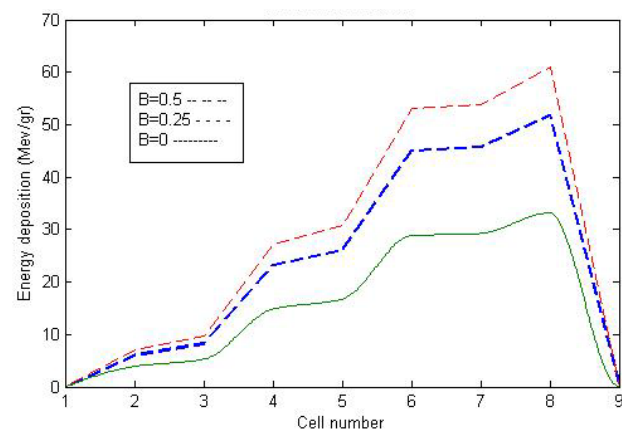
در حالی که ساقمه با یک مرکز داغ و با حضور میدان مغناطیسی بررسی می‌شود آهنگ انتقال انرژی تغییر می‌کند. همان‌گونه که در شکل ۴ دیده می‌شود با اعمال میدان مغناطیسی آهنگ انتقال انرژی الکترون‌های نسبیتی به ناحیه سوخت افزایش می‌یابد و این باعث افزایش بهره همجوشی می‌شود.



شکل ۷. مقایسه آهنگ انتقال انرژی الکترون و پروتون در میدان مغناطیسی ۵/۵ تесلا.



شکل ۹. مقایسه آهنگ انتقال انرژی پروتون‌های ۵-۳۵ MeV به لایه‌های مختلف ساقمه استوانه‌ای در اشتعال سریع در غیاب و حضور میدان‌های مغناطیسی ۰/۲۵ و ۰/۵ تесلا در حالت دو نقطه داغ.



شکل ۸. مقایسه آهنگ انتقال انرژی الکترون‌های ۱-۱۰ MeV به لایه‌های مختلف ساقمه استوانه‌ای در اشتعال سریع در غیاب و حضور میدان‌های مغناطیسی ۰/۰۵ و ۰/۰۵ تесلا در حالت دو نقطه داغ.

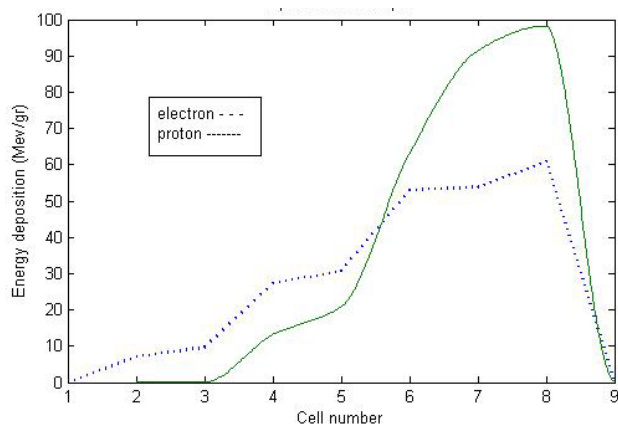
می‌شود. برتری الکترون نسبت به پروتون در حالت دو مرکز داغ نیز در شکل‌های ۸ و ۹ مشهود می‌باشد. حتی اگر بستگی  $E_M$  و  $f_B$  در نظر گرفته نشود و تنها تفاوت در ضریب بهره میدان باشد. باز بهره همجوشی الکترون از پروتون بیشتر است. در این حالت نیز الکترون نقش عمده‌ای در تأمین انرژی مورد نیاز ناحیه سوخت بر عهده دارد. از این رو در حضور میدان در حالت دو مرکز داغ نیز الکترون گزینه مناسب‌تری برای اشتعال می‌باشد. نتایج محاسبات در جدول ۴ برای مقایسه نتیجه‌گیری ارائه شده است. در شکل‌های ۱۰ و ۱۱ مقایسه آهنگ انتقال انرژی الکترون و پروتون بدون میدان مغناطیسی و با میدان صورت گرفته است. از مقایسه نتایج شکل‌های ۱۰ و ۱۱ می‌بینم که استفاده از دو نقطه داغ و اعمال میدان مغناطیسی

ناحیه سوخت بر عهده دارد. این مقایسه در شکل ۷ با وجود میدان مغناطیسی نیز انجام شده است که برتری آهنگ انتقال انرژی الکترون مشهود می‌باشد. حتی اگر بستگی  $E_M$  و  $f_B$  در نظر گرفته نشود و تنها تفاوت در ضریب بهره میدان باشد، باز بهره همجوشی الکترون از پروتون بیشتر است. از این رو در حضور میدان مغناطیسی الکترون گزینه مناسب‌تری برای اشتعال می‌باشد.

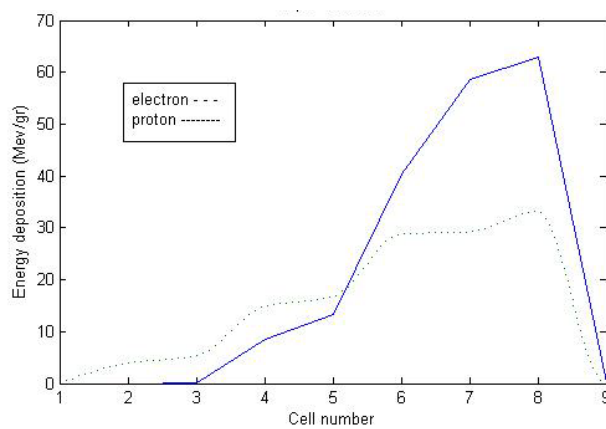
با در نظر گرفتن دو نقطه داغ و تکرار محاسبات برای ساقمه استوانه‌ای در دو حالت بدون میدان و با میدان مغناطیسی از آن جایی که ساقمه از دو نقطه مشتعل می‌شود انرژی انتقال یافته به سوخت افزایش می‌یابد و کسر بیشتری از سوخت نیز مصرف

جدول ۴. محاسبه بهره همچوشی الکترون‌های MeV ۱-۱۰ در غیاب و حضور میدان مغناطیسی در حالت دو نقطه داغ.

میدان مغناطیسی $B(T)$	بهره همچوشی توسط الکtron (%)	بهره همچوشی توسط پروتون (%)	ضریب بهره میدان برای الکtron $f_B^e$	ضریب بهره میدان برای پروتون $f_B^p$	کسر سوختن برای الکtron $f_b$	کسر سوختن برای پروتون $f_b$
۰	۸۲/۳۰۷۰	۶۳/۱۳۸۲	۱	۱	۰/۵۹	۰/۵۰
۰/۲۵	۸۶/۶۸۳۷	۶۹/۴۵۲۱	۱/۵۸۱۳	۱/۴۷۴۳	۰/۶۴	۰/۵۵
۰/۵	۸۹/۷۸۶۴	۷۲/۵۸۰۱	۱/۶۷۳۹	۱/۵۴۰۷	۰/۶۴	۰/۵۵



شکل ۱۱. مقایسه آهنگ انتقال انرژی الکtron و پروتون در میدان مغناطیسی ۰/۵ تсла در حالت دو نقطه داغ.



شکل ۱۰. مقایسه آهنگ انتقال انرژی الکtron و پروتون در غیاب میدان مغناطیسی در حالت دو نقطه داغ.

حضور میدان افزایش یافته و زمان تشکیل مرکز داغ نیز کاهش می‌یابد که همه این عوامل باعث افزایش بهره همچوشی الکترون‌ها تا ۲۴ درصد و پروتون‌ها تا ۱۳ درصد می‌شود. از آن جایی که تغییرات آهنگ انرژی انتقالی در حضور میدان چشمگیرتر می‌باشد و برای ایجاد الکtron به انرژی کمتری نسبت به تولید پروتون نیاز داریم استفاده از الکtron مقرنون به صرفه‌تر می‌باشد. از طرفی تمام محاسبات برای دو مرکز داغ نیز انجام شده است. در این حالت علاوه بر مزایای اعمال میدان مغناطیسی، اشتغال در ساقمه از دو نقطه می‌باشد و کسر بیشتری از سوخت مشتعل می‌شود که این نیز به نوبه خود باعث افزایش بهره همچوشی می‌گردد.

آهنگ انتقال انرژی تا بیش از دو برابر حالت با یک نقطه داغ افزایش می‌یابد.

در این مقاله ساقمه سوخت استوانه‌ای در روش اشتغال سریع برای چشمکه الکtron و پروتون در غیاب و با حضور میدان مغناطیسی و برای دو حالت تک و دو مرکز داغ مورد بررسی قرار گرفت. از آن جایی که میدان مغناطیسی باعث عایق‌بندی ساقمه استوانه‌ای می‌شود به  $rR$  کوچکتری نسبت به حالت بدون میدان نیاز دارد و این امر باعث کاهش انرژی درخواستی او لیه مورد نیاز برای تراکم ساقمه می‌گردد. از طرفی آهنگ انتقال انرژی الکtron‌های نسبیتی و پروتون‌های پر انرژی نیز در

11. FLUKA, High Energy Transport Code System, *European Organization For Nuclear Research*, (2007).
12. F Salvat, PENELOPE. A Code System for Monte Carlo Simulation of Electron and Photon Transport, *Nuclear Energy Agency* (2001).
13. A J Kemp, et al., *Nuclear Fusion*, **43** (2001) 16.
14. M M Basko, et al., *Plasma Physics and Controlled Fusion*, **45** (2003) A125.
15. A J Kemp, et al., *Nuclear Instruments and Methods in Physics Research A* **464** (2001) 192.
16. S Atzeni, M Temporal, J J Honrubia, *Nuclear Fusion*, **42** (2002) L1.
17. A J Kemp, M Basko, J Meyer-Ter-Vehn., *Nuclear Fusion*, **40**, 1 (2005) 59.
18. A J Kemp, M M Basko, J Meyer-ter-Vehn., *Nuclear Fusion*, **40**, 2 (2007) 235.
19. M Roth, T E Cown, *American Physical Society*, **75** (2001).
1. J D Lindl, *Plasma Physics and Controlled Fusion*, **45** (2003) A215.
2. A Parvazian and J Jafari, *Iranian Journal of Physics Research*, **3**, 2 (2002).
3. M Roth, *Physical Review Letters*, **86**, 3 (2001).
4. R Ramis, and J Ramirez, *Nuclear Fusion* , **44** (2004) 720.
5. J Andresa, "Magnetized Cylindrical Implosion Driven by Heavy Ion Beams", Los Alamos National Laboratory, Report (2001).
6. A Parvazian and A Okhovat, *Iranian Journal of Physics Research*, **5** (2006) 4.
7. C Ren, et al., *Physical Rev. Lett.*, **93**, 18 (2004).
8. J Meyer – Ter – Vehn, *Contorol Fusion*, **43** (2001) A113.
9. A Parvazian and R Hoseini Dalasam, *Esteghlal*, **27**, 1 (2008).
10. MCNPX Monte Carlo N-Particle Transport Code System, Los Alamos National Laboratory, April (2000).